

01;03

Анализ кинетического уравнения массопереноса, инициируемого короткими импульсами лазера

© В.А. Путилин, А.В. Камашев

Самарский государственный технический университет

Поступило в Редакцию 9 сентября 1996 г.

Работа посвящена взаимодействию мощного короткого лазерного излучения с металлической мишенью. Аналитически рассмотрен процесс транспорта атомов вещества из поверхностного слоя в объем полубесконечного образца под действием поля напряжений плоской ударной волны и градиента температуры. Результаты численного расчета для плотности мощности лазерного излучения 10^9 Вт/см² и длительности импульса 30 нс хорошо согласуются с результатами выполненных ранее экспериментов.

Высокий темп ввода энергии, характерный для взаимодействия мощного короткоимпульсного лазерного излучения с металлами, и значительные скорости нагрева и охлаждения, достигающие порядка 10^{10} К/с, приводят к тому, что внутри материала формируются ударные волны высокого давления и значительные температурные градиенты. Экспериментальному изучению массопереноса при лазерно-индуцированном ударном воздействии посвящены работы [1,2]. Возникает необходимость теоретического анализа кинетического уравнения массопереноса с учетом бародиффузии и термодиффузии.

При определенных допущениях и ограничениях [3] лазерно-индуцированную ударную волну можно считать плоской. Рассмотрим процесс транспорта атомов вещества из поверхностного слоя в объем полубесконечного металлического образца под действием поля напряжений плоской ударной волны и градиента температуры.

Уравнение массопереноса с учетом бародиффузии [4] и термодиффузии можно записать в виде

$$\frac{\partial C}{\partial t} = D \frac{\partial^2 C}{\partial x^2} + \frac{\partial}{\partial x} \left(D \frac{K_p}{P} \cdot \frac{\partial p}{\partial x} \right) + \frac{\partial}{\partial x} \left(D \frac{K_T}{T} \cdot \frac{\partial T}{\partial x} \right), \quad (1)$$

где C — концентрация, D — коэффициент диффузии, P — давление, $K_p \cdot D$ — коэффициент бародиффузии, $K_T \cdot D$ — коэффициент термодиффузии.

В операторной форме это уравнение имеет вид

$$\hat{L}c = 0, \quad (2)$$

где

$$\hat{L} = -\frac{\partial}{\partial t} + D\frac{\partial^2}{\partial x^2} + D_1\frac{\partial p}{\partial x} \cdot \frac{\partial}{\partial x} + D_1\frac{\partial^2 p}{\partial x^2} + D_2\frac{\partial T}{\partial x} \cdot \frac{\partial}{\partial x} + D_2\frac{\partial^2 T}{\partial x^2},$$

$$D_1 = \frac{DV_0}{kT_0}, \quad D_2 = \frac{DQ_i}{kT_0^2}, \quad (3)$$

V_0 — парциальный объем, k — постоянная Больцмана, T_0 — абсолютная температура поверхности образца в момент прекращения действия лазерного луча, Q_i — поток тепла.

Уравнение (3) линейное, параболического типа с переменными коэффициентами, решаемое по методу "параметрикса" [4]. Параметрикс в первом приближении можно записать в виде

$$\Gamma(x, t, \zeta, \tau) = Z_0(x, t, \zeta, \tau) + Z(x, t, \zeta, \tau),$$

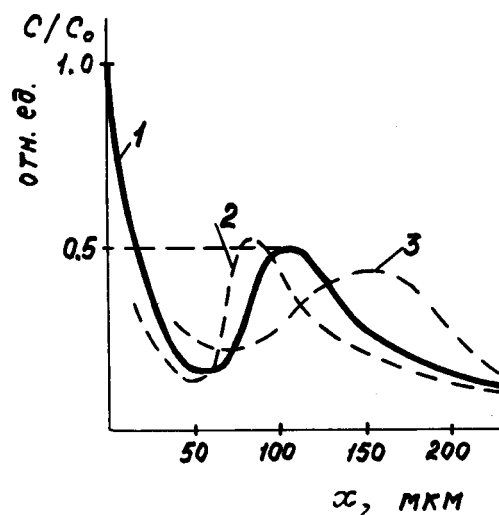
$$Z_0(x, t, \zeta, \tau) = \frac{1}{\sqrt{4\pi D(t-\tau)}} \left\{ \exp \left[-\frac{(x-\zeta)^2}{4D(t-\tau)} \right] + \exp \left[-\frac{(x+\zeta)^2}{2D(t-\tau)} \right] \right\}, \quad (4)$$

$$Z(x, t, \zeta, \tau) = \int_{\tau}^t \int_0^{\infty} Z_0(x, t, \eta, \sigma) \hat{L}Z_0(\eta, \sigma, \zeta, \tau) d\eta d\sigma,$$

где $z_0(x, t, \zeta, \tau)$ — фундаментальное решение уравнения Фика для полубесконечного образца. Используя начальные условия:

$$c(x, 0) = \begin{cases} c_0, & 0 \leq x \leq d, \\ 0, & x > d, \end{cases} \quad (5)$$

где d — толщина приповерхностного слоя, в котором равномерно распределено вещество с начальной концентрацией c_0 , можно найти



Расчетное концентрационное распределение по глубине металлического образца вещества, транспортированного лазерно-индуцируемой ударной волной (кривая 1), и экспериментально полученные в [2] концентрационные распределения: меди в никеле (кривая 2) и углерода в железе (кривая 3).

его концентрационное распределение после лазерного воздействия как функциональную зависимость вида $c = c(x, t)$:

$$c(x, t) = \int \Gamma(x, t, \zeta, 0) c(\zeta, 0) d\zeta. \quad (6)$$

Для решения уравнения 6 в явном виде импульс давления принимался в виде солитона, а тепловая волна описывалась ступенчатой функцией Хевисайда:

$$P(x, t) = P_0 \operatorname{ch}^{-2} \left(\frac{x - vt - x_s}{x_0} \right), \quad (7)$$

$$T(x, t) = T_0 \theta(v_T \cdot t - x), \quad (8)$$

где v и v_T — скорости распространения ударной и тепловой волн.

Результаты численного расчета по уравнению (6) для плотности мощности лазерного излучения 10^9 Вт/см² и длительности импульса

30 нс представлены на рисунке. Обнаружен концентрационный пик на глубине порядка 100 мкм, а полная глубина проникновения атомов составляет около 300 мкм, что хорошо согласуется с полученными нами ранее в [2] результатами экспериментальных исследований массопереноса меди в никеле, а также углерода в железе при воздействии лазерно-индуцированной ударной волны.

Список литературы

- [1] Мазанко В.М., Погорелов А.Е. // *Металлофизика*. 1986. Т. 6. В. 4. С. 108–109.
- [2] Бекренев А.Н., Камашев А.В., Путилин В.А. // *Письма в ЖТФ*. 1993. Т. 19. В. 13. С. 14–15.
- [3] Анисимов С.И., Кравченко В.А. // *Препринт ИТФ АН СССР*. 1984. 15 с.
- [4] Крестелев А.И., Бекренев А.Н. // *ФХОМ*. 1985. В. 2. С. 58–60.